

05.4;12

© 1994

## ОКИСЛИТЕЛЬНО-ВОССТАНОВИТЕЛЬНЫЕ ПРОЦЕССЫ И ЭЛЕКТРИЧЕСКИЕ СВОЙСТВА В КЕРАМИКЕ $\text{YBa}_2\text{Cu}_3\text{O}_y$

*П.А. Тихонов, М.В. Калинина, В.П. Попов, В.О. Поляков,  
Б.Б. Глушкова, Е.М. Трусова, А.В. Комаров*

Как известно, наличие перехода в сверхпроводящее состояние, значение  $T_c$  и даже характер температурной зависимости  $\rho$  от  $T$  существенно зависят от содержания кислорода в составе  $\text{YBa}_2\text{Cu}_3\text{O}_y$  и других сверхпроводников [1–3].

Тем не менее количественной информации о скоростях окислительно-восстановительных процессов и их температурной зависимости, даже в случае наиболее изученного соединения  $\text{YBa}_2\text{Cu}_3\text{O}_y$ , в литературе явно недостаточно.

Настоящее сообщение посвящено исследованию окислительно-восстановительных процессов в порошкообразных и керамических образцах  $\text{YBa}_2\text{Cu}_3\text{O}_y$  в воздушной среде с помощью термомассометрической установки (на электронных весах ЭМ-5-ЗМ) с контролем величины удельного сопротивления [4,5].

Образцы керамики исходного состава  $\text{YBa}_2\text{Cu}_3\text{O}_y$  были синтезированы из смеси оксидов иттрия (марки ИТО-1), меди (марки "чда") и карбоната бария (марки "чда") при температуре  $1223 \pm 5$  К в течение 24 ч с последующим отжигом на воздухе при  $873 \pm 5$  К в течение 20 ч. Открытая пористость керамических образцов составляла около 20%.

Кривые температурной зависимости изменения массы образцов приведены на рис. 1 в интервале температур 298–1173 К. Из рисунка видно, что при нагревании процесс окисления происходит наиболее интенсивно в интервале температур 673–820 К (после предварительного обжига в атмосфере аргона), затем при более высоких температурах наблюдается восстановление образцов. После обжига в аргоне образец имел состав  $\text{YBa}_2\text{Cu}_3\text{O}_{6.5}$ , затем после окисления на воздухе изменился до  $\text{YBa}_2\text{Cu}_3\text{O}_{6.90}$ .

Получены изотермы изменения массы образца от времени при температурах 673, 723, 773 и 823 К для керамических и порошкообразных образцов. Математическая обработка полученных таким образом кривых изотермической кинетики окисления была проведена с помощью специально разработанной программы. Расчеты проводились по следующе-

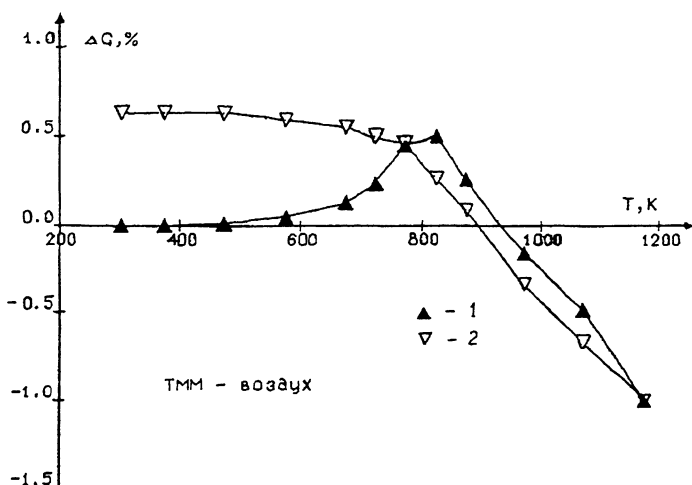


Рис. 1. Зависимость изменения массы образца  $\text{YBa}_2\text{Cu}_3\text{O}_y$  в воздушной среде от температуры.  
1 — нагрев, 2 — охлаждение.

му дифференциальному уравнению:

$$\frac{d\alpha}{dt} = a_0 - a_1 \alpha^n, \quad (1)$$

где  $a_0$  — начальная скорость окисления,  $a_1$  — коэффициент замедления процесса окисления,  $\alpha$  — степень превращения ( $0 \leq \alpha \leq 1$ ),  $n$  — показатель степени замедления.

Примеры расчетов по разработанной программе представлены в таблице. Как из нее видно, начальная скорость процесса окисления ( $a_0$ ) сильно зависит от температуры: при изменении температуры на 100 К скорость увеличивается в 4–7 раз. Скорость окислительно-восстановительного процесса изменяется также и в зависимости от состояния исследуемых образцов. Так, в порошкообразных образцах скорость выше, чем в спеченной керамике.

На рис. 2 представлены в качестве примера экспериментальные (1) и расчетные (2) кривые процесса окисления порошка и керамики  $\text{YBa}_2\text{Cu}_3\text{O}_y$  при 673 и 773 К.

Сравнительный анализ кривых регрессии и экспериментальных данных подтверждает, что выбранная простая модель и метод конечных разностей достаточно эффективны для решения поставленной задачи математической обработки кинетических кривых.

Параметры кинетического дифференциального уравнения (1), рассчитанные по экспериментальным данным

$T$ , К	Состояние образца	$a_0$	$a_1$	$n$	$\Delta t$	$E_{ак, ккал}$ *	C
673	Порошок (1–10 мкм)	0.0226	0.0206	0.8	673–723	22.1	$3.1 \cdot 10^5$
	Керамика	0.0075	0.0061	1.7		33.3	$4.2 \cdot 10^8$
723	Порошок (1–10 мкм)	0.0706	0.0715	2.0			
	Керамика	0.0417	0.0404	2.1			
773	Порошок (1–10 мкм)	0.0885	0.0898	2.3	723–773	5.1	$2.4 \cdot 10^4$
	Керамика	0.0754	0.0756	1.95		13.3	$4.1 \cdot 10^2$

\*  $E_{ак.}$  — кажущаяся энергия активации начального процесса окисления, рассчитанная по уравнению (2).

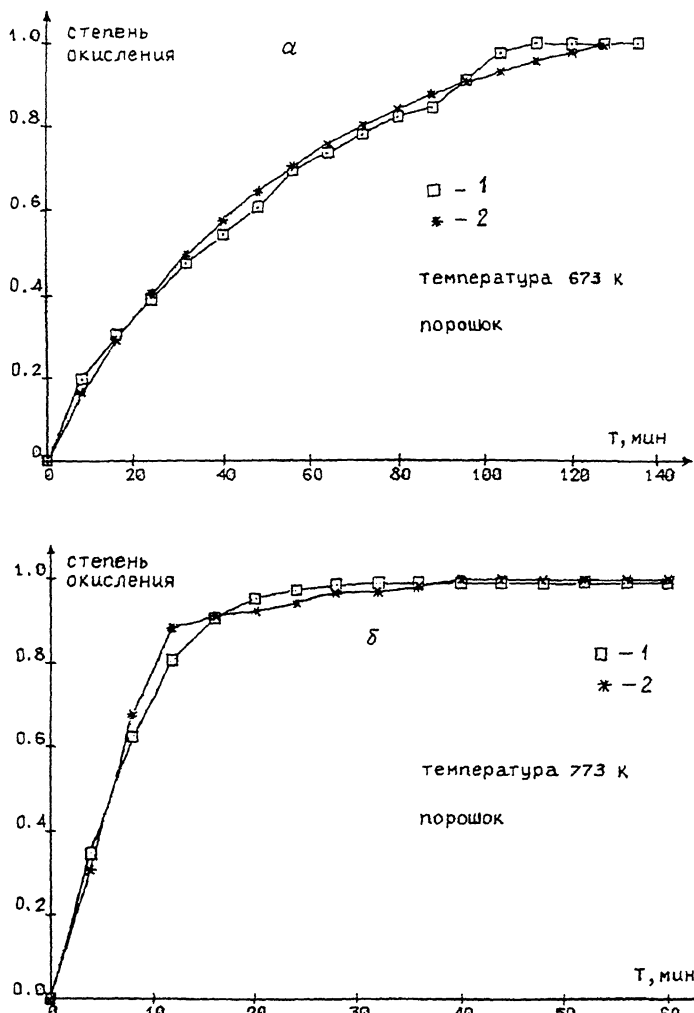


Рис. 2. Изотермы изменения массы образца  $\text{YBa}_2\text{Cu}_3\text{O}_y$  от времени.  
Для порошкообразного образца:  $a$  —  $T = 673$ ,  $b$  —  $T = 773$  К. 1 — нагрев,  
2 — охлаждение.

В таблице приведены также рассчитанные по уравнению

$$a_0 = C \cdot \exp \left( -\frac{E_{\text{ак}}}{RT} \right) \quad (2)$$

значения  $E_{\text{ак}}$  и  $C$  для двух температурных интервалов 673–723 и 723–773 К. Для керамических образцов характерны

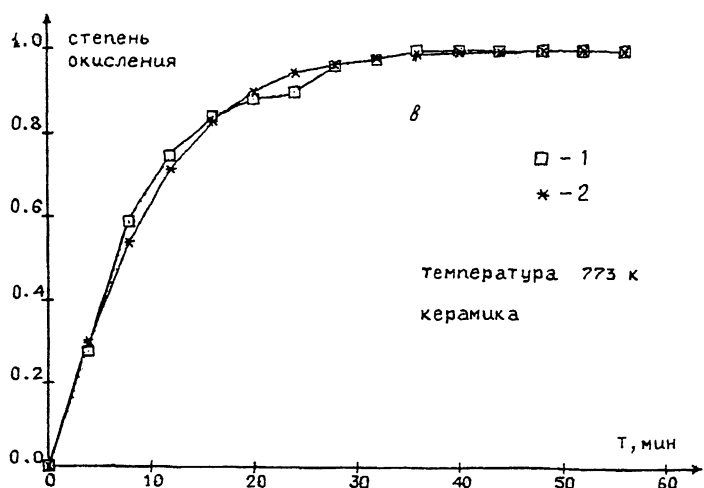


Рис. 2. (продолжение).

в — для керамического образца,  $T = 773$  К. Обозначения, как на а и б.

более высокие энергии активации и соответственно большие значения предэкспоненциального множителя. Более низкие значения энергии активации процесса начала окисления в порошкообразных материалах позволяют осуществлять отжиг порошкообразных образцов при более низких температурах, чем керамических, и за более короткий срок. Изменение содержания кислорода в  $\text{YBa}_2\text{Cu}_3\text{O}_y$  приводило к соответствующему изменению удельного сопротивления  $\rho$  образцов, поэтому кинетику окислительно-восстановительных процессов исследовали также с помощью измерения удельной электропроводности. Измерения проводили на постоянном токе двухзондовым методом (электроды — серебряные, зонды — посеребренные). Исследования проводили при температурах 773 и 820 К на воздухе и в среде аргона ( $P_{\text{O}_2} \simeq 10^{-3}$  атм) на спеченных керамических и плавленных (в печи с радиационным нагревом) образцах. На рис. 3 приведены кривые изменения значений удельного сопротивления керамики исходного состава  $\text{YBa}_2\text{Cu}_3\text{O}_y$  при отжигах в атмосфере аргона высокой чистоты. Как видно из рис. 3, удельное сопротивление образца при восстановлении в атмосфере аргона при 800 К возросло приблизительно в 8 раз за 1 ч выдержки. На рис. 4 приведены кривые, иллюстрирующие обратный процесс окисления восстановленных образцов на воздухе в интервале температур 640–770 К. Как видно из рис. 4, при температуре 770 К процесс заканчивается уже в течение 50 мин.

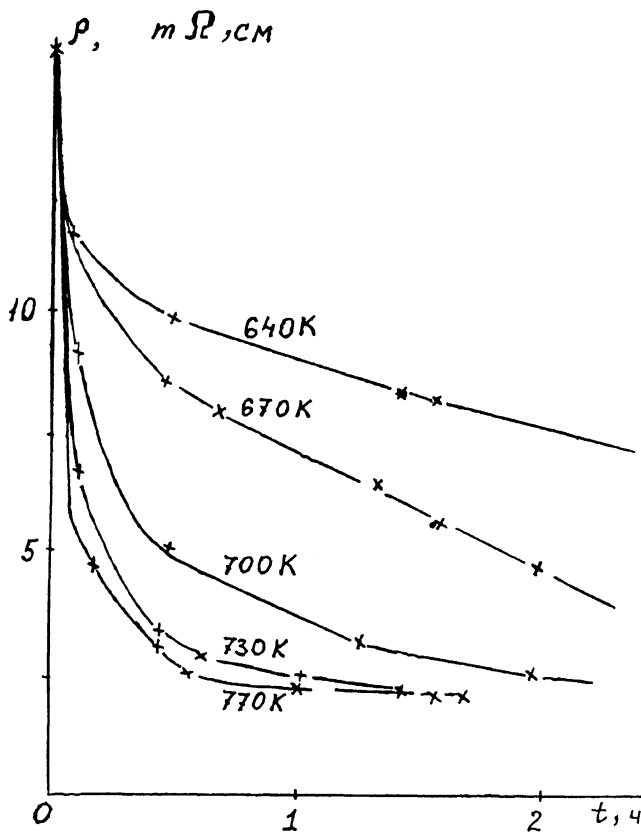


Рис. 3. Зависимости изменения удельной электропроводности керамических образцов  $\text{YBa}_2\text{Cu}_3\text{O}_y$  от времени при отжиге в аргоне.

Было также проведено сравнение скоростей окислительно-восстановительных процессов для керамических и плавленных образцов по данным изменения удельного сопротивления  $\rho$ .

Выявлено, что равновесное значение  $\rho$  устанавливалось при  $T = 770$  К за 40–60 мин для керамических образцов и за 200–250 мин для плавленных, и значительно быстрее при температуре 820 К — за 10–15 и 120–150 мин соответственно.

Кинетические кривые изменения удельного сопротивления в общем хорошо коррелируют с кривыми изменения массы образцов от времени.

Полученные данные и метод обработки результатов могут быть использованы как при разработке технологических условий получения сверхпроводящих композиций с оптимальными характеристиками, так и для дальнейших ис-

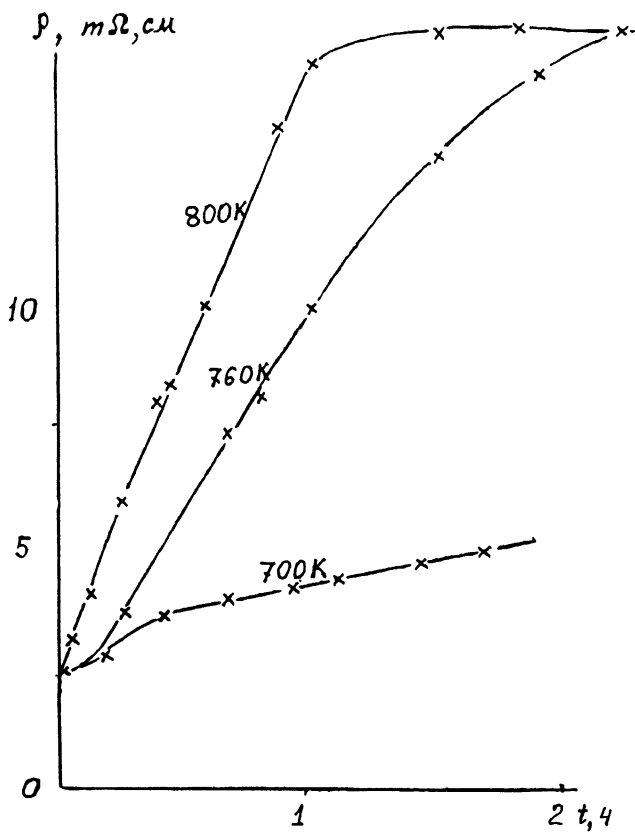


Рис. 4. Зависимости изменения удельной электропроводности керамических образцов  $YBa_2Cu_3O_y$  от времени при окислении на воздухе после обработки в аргоне.

следований кинетики окислительно-восстановительных процессов в системах оксидов с переменной валентностью.

## Список литературы

- [1] Грабой И.Э., Путляев В.И. // Журнал Всесоюз. химич. общ. им. Д.И.Менделеева. 1989. Т. 34. В. 4. С. 473–480.
- [2] Avignon S.M., Bennemann K.N. // Solid State Comm. 1989. V. 69. N 10. P. 999–1004.
- [3] Комаров А.В., Новиков А.И. // СФХТ. 1990. Т. 3. В. 11. С. 125–130.
- [4] Karthikeyan I., Patil D.S. // Solid State Comm. 1989. V. 70. N 3. P. 297–301.
- [5] Попов В.П., Калинина М.В., Тихонов П.А. и др. // Письма в ЖТФ. 1991. Т. 17. В. 11. С. 42–48.

Институт химии силикатов  
им. И.В.Гребенщикова  
Санкт-Петербург

Поступило в Редакцию  
26 декабря 1993 г.  
В окончательной редакции  
21 марта 1994 г.

---